

**ФЕДЕРАЛЬНО-РЕГИОНАЛЬНЫЙ ЦЕНТР АЭРОКОСМИЧЕСКОГО И НАЗЕМНОГО
МОНИТОРИНГА ОБЪЕКТОВ И ПРИРОДНЫХ РЕСУРСОВ**

**ИССЛЕДОВАНИЕ ИНФОРМАТИВНОСТИ СПЕКТРАЛЬНЫХ
ПОКАЗАТЕЛЕЙ ДЛЯ ВЫДЕЛЕНИЯ ЕСТЕСТВЕННЫХ
СТЕПНЫХ ПРОСТРАНСТВ**

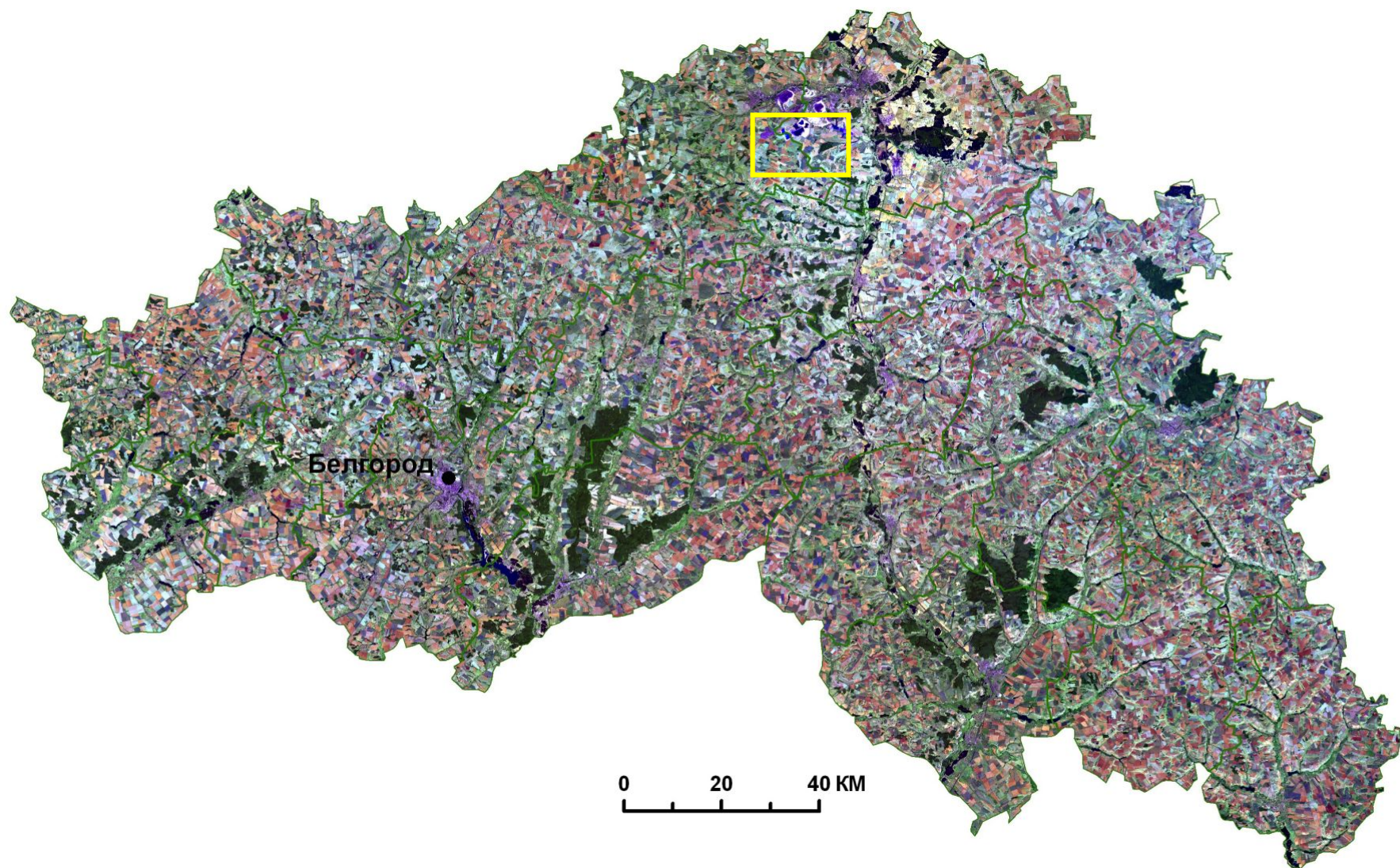


Белгород
2011 г.

Докладчик: Терёхин Э.А.

E-mail: terekhin@bsu.edu.ru
Телефон 8(4722) 30-13-72
8(4722) 30-13-70

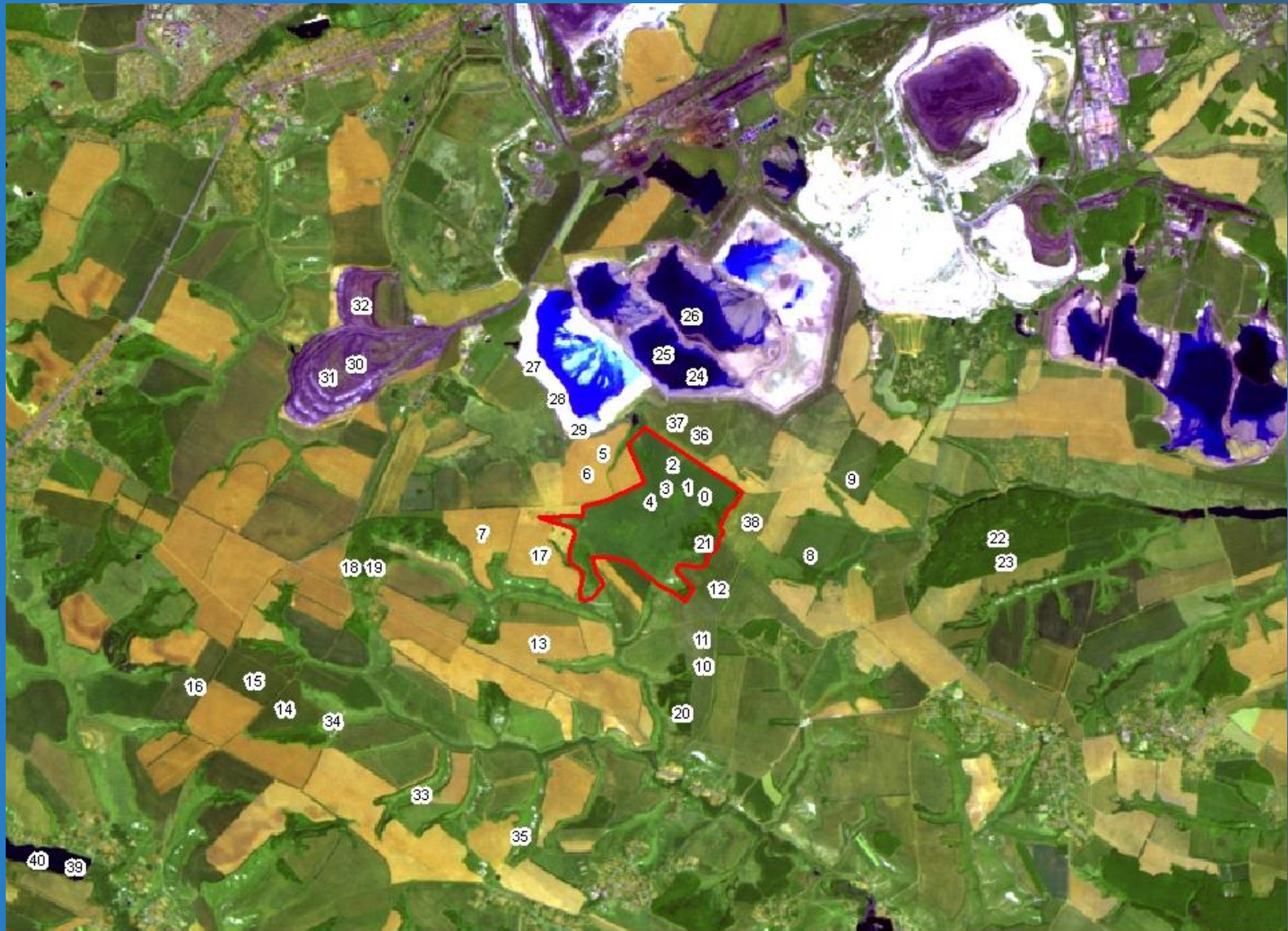
Космофотокарта Белгородской области Данные Landsat TM 5 Комбинация каналов 7-5-3



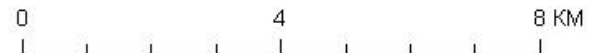
Анализируемые спектральные индексы и диапазоны

№	Спектральный диапазон или индекс	Длина диапазона (мкм) / Формула индекса на основе каналов снимка
1	Синий	0,45 - 0,52
2	Зеленый	0,52 - 0,60
3	Красный	0,63 - 0,69
4	Ближний инфракрасный	0,75 - 0,90
5	Средний инфракрасный 1	1,55 - 1,75
6	Средний инфракрасный 2	2,08-2,35
6	NDVI	$(TM4-TM3)/(TM4+TM3)$
7	ND53	$(TM5-TM3)/(TM5+TM3)$
8	ND54	$(TM5-TM4)/(TM5+TM4)$
9	ND57	$(TM5-TM7)/(TM5+TM7)$
10	ND32	$(TM3-TM2)/(TM3+TM2)$
11	NLI	$(TM4^2 - TM3)/(TM4^2 + TM3)$
12	RDVI	$(TM4 - TM3)/\sqrt{(TM4 + TM3)}$
13	KT1	$0.304TM1+0.279TM2+0.474TM3+0.559TM4+0.508TM5+0.186TM7$
14	KT2	$-0.285TM1-0.244TM2-0.544TM3+0.704TM4+0.084TM5-0.180TM7$
15	KT3	$0.151TM1+0.197TM2+0.328TM3+0.341TM4-0.711TM5-0.457TM7$
16	PC1	$0.054TM1+0.130TM2+0.143TM3+0.595TM4+0.709TM5+0.321TM7$
17	PC2	$-0.079TM1+0.121TM2+0.212TM3+0.787TM4+0.421TM5+0.372TM7$
18	PC3	$0.230TM1+0.504TM2+0.616TM3+0.140TM4+0.472TM5+0.266TM7$
19	GEMI	$\mu(1 - 0.25 \times \mu) - (TM3 - 0.125)/(1 - TM3)$, где $\mu = [2(TM4^2 - TM3^2) + 1.5 \times TM4 + 0.5 \times TM3] / (TM4 + TM3 + 0.5)$
20	SAVI	$(TM4 - TM3) \times (1 + L) / (TM4 + TM3 + L)$
21	MSR	$(TM4/TM3 - 1) / \sqrt{TM4/TM3 + 1}$

Территория исследования и расположение оценочных точек



 Граница заповедного участка "Ямская степь"



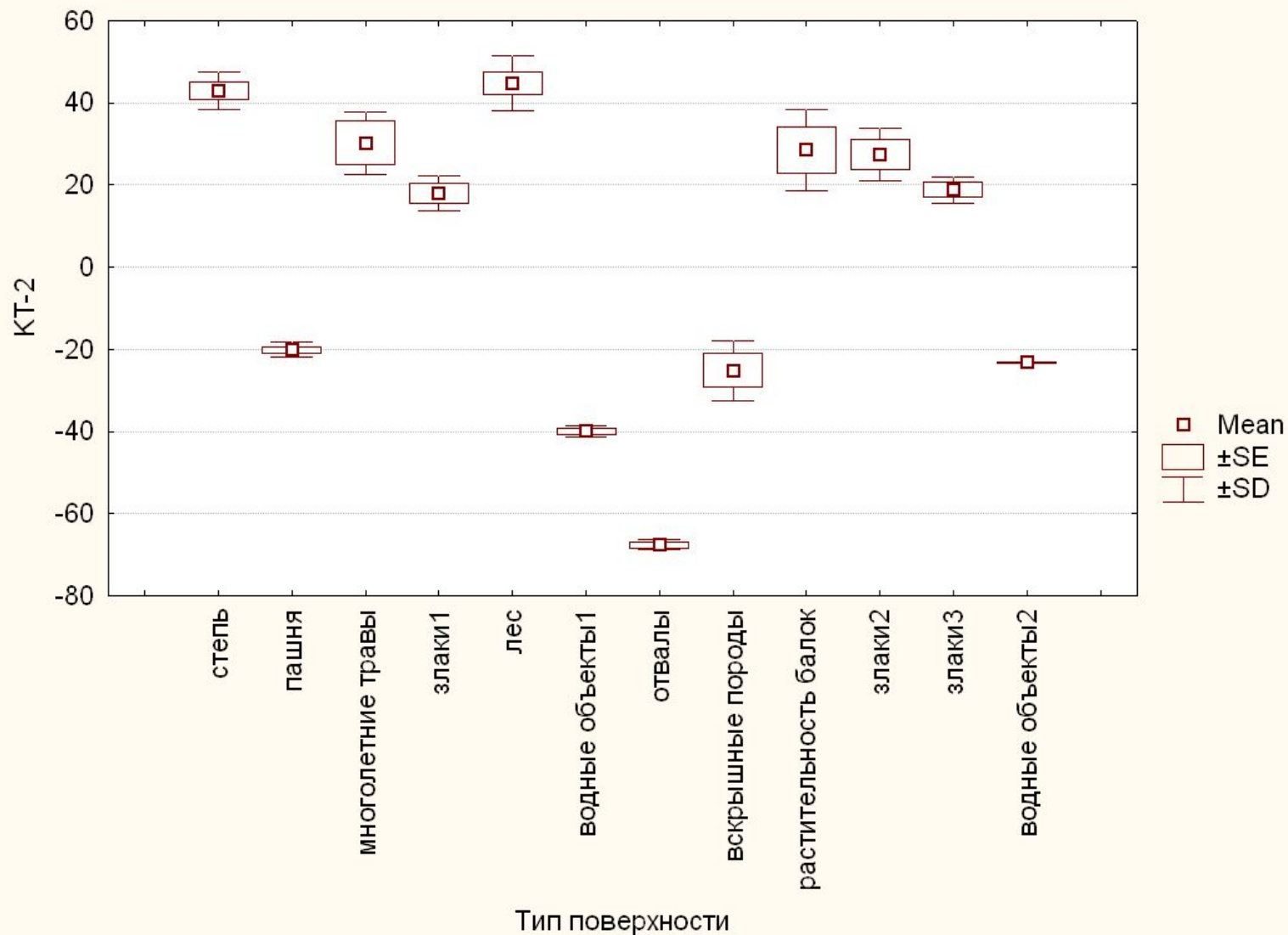
Достоверность различий между спектральными показателями степных участков и других типов земной поверхности

СПЕКТРАЛЬНЫЙ ДИАПАЗОН/ ИНДЕКС	ТИП ЗЕМНОЙ ПОВЕРХНОСТИ										
	пашня	Многол травы	балки	лес	злаки1	злаки2	злаки3	вода1	вода2	отвалы	Вскры шные породы
Синий	1	1	0	1	0	0	1	1	1	1	1
Зеленый	0	0	0	1	0	1	0	1	1	1	1
Красный	1	1	0	1	0	0	0	1	1	1	1
Ближний инфракрасный	1	1	1	0	1	1	1	1	1	0	1
Средний инфракрасный1	1	0	1	0	0	0	0	1	1	1	1
Средний инфракрасный2	1	1	1	0	1	0	1	1	1	1	1
KT1	1	0	0	1	1	1	1	1	1	1	1
KT2	1	1	1	0	1	1	1	1	1	1	1
KT3	1	1	1	0	1	0	1	1	1	1	1
PC1	1	0	1	1	0	0	0	1	1	1	1
PC2	1	1	1	0	1	1	1	1	1	1	1
PC3	1	0	1	0	0	0	0	1	1	1	1
GEMI	1	1	1	0	1	1	1	1	1	1	1
NLI	1	0	0	0	0	0	0	1	1	1	1
NDVI	1	0	1	1	1	0	1	1	1	1	1
RDVI	1	1	1	0	1	1	1	1	1	1	1
SAVI	1	0	1	1	1	0	1	1	1	1	1
ND32	1	0	0	1	1	0	0	1	1	1	1
ND53	0	0	1	1	1	0	0	1	1	1	1
ND54	1	1	1	0	1	1	1	1	0	1	1
ND57	1	0	1	0	0	0	0	1	1	1	1

1 спектральные характеристики достоверно различаются с яркостями участков степи

0 спектральные характеристики достоверно не различаются с яркостями участков степи

График значений индекса КТ-2 (2-я компонента преобразований Каута-Томаса) для различных типов земной поверхности





ФЕДЕРАЛЬНО-РЕГИОНАЛЬНЫЙ ЦЕНТР АЭРОКОСМИЧЕСКОГО И НАЗЕМНОГО МОНИТОРИНГА ОБЪЕКТОВ И ПРИРОДНЫХ РЕСУРСОВ

СПАСИБО ЗА ВНИМАНИЕ

